

# РАСПРОСТРАНЕНИЕ НЕЙТРОНОВ ОТ ТОЧЕЧНОГО АНИЗОТРОПНОГО ИСТОЧНИКА В БЕСКОНЕЧНОЙ ОДНОРОДНОЙ СРЕДЕ И ВОЗДЕЙСТВИЕ НА АНИЗОТРОПНЫЙ ДЕТЕКТОР

В. И. Юферев

ФГУП "РФЯЦ-ВНИИЭФ", 607188, г. Саров Нижегородской обл.

Получено аналитическое решение кинетического уравнения переноса нейтронов для однородной бесконечной среды в многогрупповом приближении для случая анизотропного источника и анизотропного детектора.

Решение кинетического уравнения переноса нейтронов от точечного изотропного источника нейтронов в бесконечной однородной среде в односкоростном приближении хорошо известно [1, 2]. Однако при анизотропном источнике и анизотропной чувствительности детектора аналитическое решение уравнения переноса отсутствует, что затрудняет разработку инженерных методов для проведения оценок результатов воздействия нейтронного излучения. Решение задачи численными методами возможно, например, методом Монте-Карло или другими известными методами решения кинетического уравнения, однако процесс обработки результатов является достаточно трудоемким из-за большого объема информации о многомерной функции распределения.

В данной работе получено аналитическое решение кинетического уравнения переноса нейтронов в многогрупповом приближении для случая анизотропного источника и анизотропного детектора. В результате в рамках данного приближения удалось выразить искомый функционал в явном виде. Решение записывается в виде интеграла с использованием специальных функций. Несмотря на достаточно сложный вид, полученное решение допускает численные расчеты с помощью стандартных методов вычисления интегралов без привлечения специальных методов решения кинетического уравнения переноса нейтронов.

## 1. Постановка задачи

Рассматривается результат воздействия нейтронного излучения от точечного анизотропного источника, расположенного в неограниченной однородной среде, на точечный детектор, удаленный от источника на расстояние  $r$ . Чувствительность детектора также является анизотропной, т. е. зависит от направления влета нейтрона в детектор.

В математическом виде при многогрупповом рассмотрении энергетического распределения нейтронов искомый результат записывается в виде следующего функционала от функций распределения нейтронов в среде:

$$\Psi(\vec{r}, \vec{\Omega}_0, \vec{\ell}) = \sum_{j=1}^J \int d\Omega \eta_j(\vec{\Omega}, \vec{\ell}) \varphi_j(\vec{r}, \vec{\Omega}, \vec{\Omega}_0), \quad (1)$$

где  $\varphi_j(\vec{r}, \vec{\Omega}, \vec{\Omega}_0)$  – функция распределения нейтронов  $j$ -й энергетической группы ( $j = 1 \div J$ ) в точке  $\vec{r}$  с направлением движения  $\vec{\Omega}$  при ориентации источника в пространстве, характеризуемой направлением  $\vec{\Omega}_0$ ;  $\eta_j(\vec{\Omega}, \vec{\ell})$  – чувствительность детектора с ориентацией в пространстве, характеризуемой вектором  $\vec{\ell}$ , к нейтронам  $j$ -й энергетической группы и направлением движения  $\vec{\Omega}$ .

Функция распределения нейтронов в однородной, неограниченной, рассеивающей среде от точечного источника, расположенного в начале координат, является решением кинетического уравнения переноса нейтронов, которое в многогрупповом приближении и изотропном рассеянии записывается в виде

$$\vec{\Omega} \nabla \varphi_j(\vec{r}, \vec{\Omega}, \vec{\Omega}_0) + \alpha_j \varphi_j(\vec{r}, \vec{\Omega}, \vec{\Omega}_0) = \sum_{i=1}^{i=j} \frac{\beta_{ij}}{4\pi} \int d\Omega' \varphi_i(\vec{r}, \vec{\Omega}', \vec{\Omega}_0) + S_0 \chi_j(\vec{\Omega}, \vec{\Omega}_0) \delta(\vec{r}), \quad (2)$$

где  $\alpha_j$  – полное сечение взаимодействия нейтронов  $j$ -й группы;  $\beta_{ij}$  – сечение перехода из  $i$ -й группы в  $j$ -ю;  $\chi_j(\vec{\Omega}, \vec{\Omega}_0)$  – индикатриса выхода нейтронов  $j$ -й группы в направлении  $\vec{\Omega}$ ;  $S_0$  – полный выход нейтронов из источника.

Понимается, что индикатрисы выхода нейтронов из источника и уязвимости детектора являются осесимметричными функциями, зависящими только от косинуса угла между направлением движения нейтрона и вектором, характеризующим ориентацию детектора или источника в пространстве (функции скалярного произведения векторов  $(\vec{\Omega}\vec{\ell})$  и  $(\vec{\Omega}\vec{\Omega}_0)$ ). Считается, что эти функции могут быть представлены в виде разложения в ряд по полиномам Лежандра

$$\begin{aligned}\chi_j(\vec{\Omega}\vec{\Omega}_0) &= \sum_{n=0}^N \frac{2n+1}{4\pi} \chi_n^j P_n(\vec{\Omega}\vec{\Omega}_0), \\ \eta_j(\vec{\Omega}\vec{\ell}) &= \sum_{\ell=0}^L \frac{2\ell+1}{4\pi} \eta_\ell^j P_\ell(\vec{\Omega}\vec{\ell}).\end{aligned}\quad (3)$$

Для дальнейшего анализа выберем систему координат с началом в точке размещения источника, осью  $\vec{Z}$ , совпадающей с направлением на детектор, и осью  $\vec{X}$ , направленной таким образом, чтобы вектор  $\vec{\Omega}_0$  оказался в плоскости  $XZ$  (рис. 1).

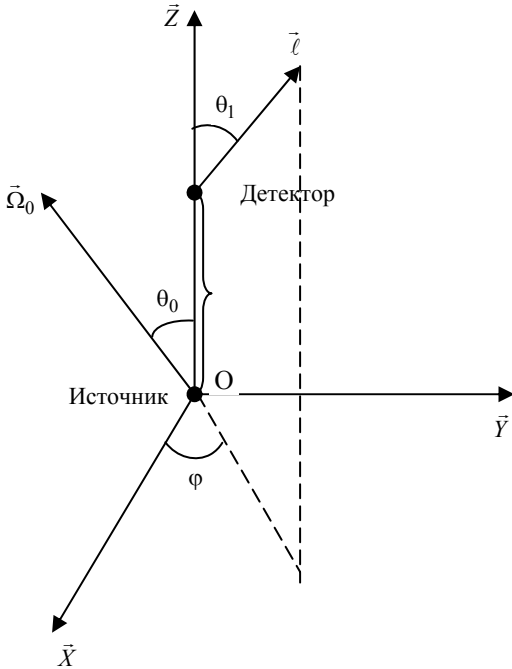


Рис. 1. Ориентация источника и детектора в выбранной системе координат

При этом ориентация векторов  $\vec{\Omega}_0$  и  $\vec{\ell}$  друг относительно друга будет определяться значениями направляющих косинусов этих векторов относительно оси  $\vec{Z}$  –  $\mu_0 = \cos \theta_0$ ,  $\mu_1 = \cos \theta_1$  и углом  $\varphi$  между проекцией вектора  $\vec{\ell}$  на плоскость  $XU$  и осью  $\vec{X}$ .

Таким образом, в отличие от задачи с изотропными индикатрисами, решение которой зависит лишь от одной переменной  $r$  – расстояния между источником и детектором, при анизотропных индикатрисах появляется зависимость еще от трех переменных  $\mu_0$ ,  $\mu_1$ ,  $\varphi$ , характеризующих взаимную ориентацию источника и детектора.

## 2. Решение уравнения переноса нейтронов

При решении уравнения переноса нейтронов (2) воспользуемся преобразованием Фурье по пространственной переменной. В результате для фурье-образа функции распределения из (2) получим выражение

$$\begin{aligned}\Phi_j(\vec{k}, \vec{\Omega}, \vec{\Omega}_0) &= \\ &= \frac{1}{(\alpha_j - ik\vec{\Omega})} \sum_{\rho=1}^j \frac{\beta_{\rho j}}{4\pi} \Phi_\rho^0(\vec{k}, \vec{\Omega}_0) + \frac{S_0 \chi_j(\vec{\Omega}\vec{\Omega}_0)}{(\alpha_j - ik\vec{\Omega})},\end{aligned}\quad (4)$$

где  $\Phi_j(\vec{k}, \vec{\Omega}, \vec{\Omega}_0) = \int d\vec{r} e^{i\vec{k}\vec{r}} \varphi_j(\vec{r}, \vec{\Omega}, \vec{\Omega}_0)$  – фурье-образ функции распределения с ее обратным преобразованием  $\varphi_j(\vec{r}, \vec{\Omega}, \vec{\Omega}_0) = \frac{1}{(2\pi)^3} \int d\vec{k} e^{-i\vec{k}\vec{r}} \Phi_j(\vec{k}, \vec{\Omega}, \vec{\Omega}_0)$ ;  $\Phi_\rho^0(\vec{k}, \vec{\Omega}_0) = \int d\vec{\Omega} \Phi_\rho(\vec{k}, \vec{\Omega}, \vec{\Omega}_0)$ .

Интегрируя уравнение (4) по всем направлениям  $\vec{\Omega}$  и учитывая разложение индикатрисы выхода нейтронов в ряд по полиномам Лежандра (3), из (4) получим следующую систему уравнений для определения функций  $\Phi_\rho^0(\vec{k}, \vec{\Omega}_0)$ :

$$\begin{aligned}\Phi_j^0(\vec{k}, \vec{\Omega}_0) &= \frac{1}{ik} Q_0 \left( \frac{\alpha_j}{ik} \right) \sum_{\rho=1}^j \beta_{\rho j} \Phi_\rho^0(\vec{k}, \vec{\Omega}_0) + \\ &+ S_0 \sum_{n=0}^N (2n+1) \chi_n^j \frac{1}{ik} Q_n \left( \frac{\alpha_j}{ik} \right) P_n(\vec{\Omega}_0 \vec{a}),\end{aligned}\quad (5)$$

где  $Q_n \left( \frac{\alpha_j}{ik} \right) = \frac{ik}{4\pi} \int d\vec{\Omega} \frac{P_n(\vec{\Omega} \vec{a})}{(\alpha_j - ik\vec{\Omega})}$  – функция Лежандра второго рода;  $k$  – модуль вектора  $\vec{k}$ ;  $\vec{a}$  – единичный вектор направления  $\vec{k}$  ( $\vec{k} = k\vec{a}$ ).

Решение системы уравнений (5) может быть представлено в виде

$$\begin{aligned}\Phi_j^0(\vec{k}, \vec{\Omega}_0) &= \\ &= S_0 \sum_{n=0}^N (2n+1) P_n(\vec{\Omega}_0 \vec{a}) \sum_{\rho=1}^j \chi_n^\rho \frac{1}{ik} Q_n \left( \frac{\alpha_\rho}{ik} \right) A_{\rho j}(k),\end{aligned}\quad (6)$$

где  $A_{\rho j}(k)$  – отношение алгебраического дополнения элемента  $a_{\rho j}$  к детерминанту  $\det[a_{\rho j}]$  для матрицы с элементами  $a_{\rho j} = \delta_{\rho j} - \frac{1}{ik} Q_0 \left( \frac{\alpha_j}{ik} \right) \beta_{\rho j}$ , ( $\delta_{\rho j}$  – символ Кронекера).

С учетом соотношения (6) решение уравнения (4) для фурье-образа функции распределения запишется в виде

$$\Phi_j(\vec{k}, \vec{\Omega}, \vec{\Omega}_0) = \frac{S_0}{4\pi(\alpha_j - ik\vec{\Omega})} \sum_{n=0}^N (2n+1) \times$$

$$\times \left[ \chi_n^j P_n(\bar{\Omega}\bar{\Omega}_0) + P_n(\bar{\Omega}\bar{a}) \sum_{\rho=1}^j \chi_n^\rho \frac{1}{ik} Q_n \left( \frac{\alpha_\rho}{ik} \right) C_{\rho j}(k) \right], \quad (7)$$

где  $C_{\rho j}(k) = \sum_{\eta=\rho}^j \beta_{\eta j} A_{\rho \eta}(k)$ .

Теперь после обратного преобразования Фурье выражения (7) искомый функционал (1) запишется следующим образом:

$$\begin{aligned} \Psi(\bar{r}, \bar{\Omega}_0, \bar{\ell}) &= \sum_{j=1}^J \frac{1}{(2\pi)^3} \int_0^\infty dk k^2 \int d\bar{a} e^{-ikr(\bar{a}\bar{z})} \times \\ &\times \int d\bar{\Omega} \eta_j(\bar{\Omega}\bar{\ell}) \frac{S_0}{4\pi} \sum_{n=0}^N (2n+1) \left[ \chi_n^j \frac{P_n(\bar{\Omega}\bar{\Omega}_0)}{(\alpha_j - ik\bar{\Omega})} + \right. \\ &\left. + \frac{P_n(\bar{\Omega}\bar{a})}{(\alpha_j - ik\bar{\Omega})} \sum_{\rho=1}^j \chi_n^\rho \frac{1}{ik} Q_n \left( \frac{\alpha_\rho}{ik} \right) C_{\rho j}(k) \right]. \quad (8) \end{aligned}$$

Принимая во внимание разложение (3) и соотношение

$$e^{-ikr(\bar{a}\bar{z})} = \sqrt{\frac{\pi}{2kr}} \sum_{p=0}^\infty (2p+1)(-i)^p J_{p+\frac{1}{2}}(kr) P_p(\bar{a}\bar{z}),$$

где  $J_{p+\frac{1}{2}}(x)$  – функция Бесселя, после интегрирования по угловым переменным  $\bar{\Omega}$  и  $\bar{a}$  соотношение (8) принимает вид

$$\begin{aligned} \Psi(r, \bar{Z}, \bar{\Omega}_0, \bar{\ell}) &= \frac{S_0}{(2\pi)^3} \sum_{j=1}^J \sum_{\ell=0}^L \frac{2\ell+1}{4\pi} \eta_\ell^j \sum_{n=0}^N \frac{2n+1}{4\pi} \times \\ &\times \sum_{p=0}^\infty (2p+1) Z_{pn\ell}(\bar{Z}, \bar{\Omega}_0, \bar{\ell}) 4\pi \int_0^\infty dk k^2 \sqrt{\frac{\pi}{2kr}} (-i)^p J_{p+\frac{1}{2}}(kr) \times \\ &\times \left[ \frac{\chi_n^j}{ik} Q_p \left( \frac{\alpha_j}{ik} \right) + \sum_{\rho=1}^j \chi_n^\rho \frac{1}{ik} Q_\ell \left( \frac{\alpha_j}{ik} \right) \frac{1}{ik} Q_n \left( \frac{\alpha_\rho}{ik} \right) C_{\rho j}(k) \right], \quad (9) \end{aligned}$$

где  $Z_{pn\ell}(\bar{Z}, \bar{\Omega}_0, \bar{\ell}) = \int d\Omega P_\ell(\bar{\Omega}\bar{\ell}) P_n(\bar{\Omega}\bar{\Omega}_0) P_p(\bar{\Omega}\bar{Z})$ .

Для последующего анализа преобразуем выражение для функции  $Z_{pn\ell}(\bar{Z}, \bar{\Omega}_0, \bar{\ell})$  следующим образом. Представим полиномы Лежандра в виде разложения по сферическим гармоникам  $P_n(\bar{\Omega}\bar{\Omega}_0) = \frac{4\pi}{2n+1} \times \sum_{m=-n}^n Y_{mn}^*(\bar{\Omega}) Y_{mn}(\bar{\Omega}_0)$  и учтем известное значение интеграла от трех сферических гармоник [3]

$$\begin{aligned} \int d\Omega Y_{\ell m_\ell}(\bar{\Omega}) Y_{nm_n}(\bar{\Omega}) Y_{pm_p}^*(\bar{\Omega}) &= \\ &= \sqrt{\frac{(2n+1)(2\ell+1)}{4\pi(2p+1)}} C_{n_0, \ell_0}^{p_0} C_{nm_n, \ell m_\ell}^{pm_p}, \end{aligned}$$

где  $C_{nm_n, \ell m_\ell}^{pm_p}$  – коэффициенты Клебша–Гордана.

Тогда соотношение для  $Z_{pn\ell}(\bar{Z}, \bar{\Omega}_0, \bar{\ell})$  запишется в виде

$$\begin{aligned} Z_{pn\ell}(\bar{Z}, \bar{\Omega}_0, \bar{\ell}) &= \frac{(4\pi)^{5/2}}{(2p+1)^{3/2} (2n+1)^{1/2} (2\ell+1)^{1/2}} \times \\ &\times C_{n_0, \ell_0}^{p_0} \sum_{m_n=-n}^n Y_{nm_n}^*(\bar{\Omega}_0) \times \\ &\times \sum_{m_\ell=-\ell}^{\ell} Y_{\ell m_\ell}^*(\bar{\ell}) \sum_{m_p=-p}^p Y_{pm_p}(\bar{Z}) C_{nm_n, \ell m_\ell}^{pm_p}. \quad (10) \end{aligned}$$

В выбранной системе координат (см. рис. 1), когда направляющий косинус единичного вектора  $\bar{Z}$  равен единице, а азимутальный угол вектора  $\bar{\Omega}_0$  равен нулю,

$$Y_{pm_p}(\bar{Z}) = \sqrt{\frac{2p+1}{4\pi}} \delta_{m_p 0};$$

$$Y_{nm_n}^*(\bar{\Omega}_0) = \sqrt{\frac{(2n+1)(n-m_n)!}{4\pi(n+m_n)!}} P_n^{m_n}(\mu_0); \quad (11)$$

$$Y_{\ell m_\ell}^*(\bar{\ell}) = \sqrt{\frac{(2\ell+1)(\ell-m_\ell)!}{4\pi(\ell+m_\ell)!}} P_\ell^{m_\ell}(\mu_1) e^{-im_\ell \phi},$$

где  $\delta_{mn} = \begin{cases} 1, & m=n \\ 0, & m \neq n \end{cases}$  – символ Кронекера;  $P_n^m(x)$  – присоединенный полином Лежандра.

Принимая во внимание свойства коэффициентов  $C_{nm_n, \ell m_\ell}^{pm_p}$  и  $C_{n_0, \ell_0}^{p_0}$  [3]

$$|n-\ell| \leq p \leq n+\ell, \quad m_n + m_\ell = m_p, \quad n+\ell+p - \text{четное число},$$

из соотношений (9), (10) и (11) получим следующие выражения для функции  $Z(\mu_0, \mu_1, \phi)$  и искомого функционала  $\Psi(r, \mu_0, \mu_1, \phi)$ , представленного в виде суммы двух компонент  $\Psi_0$  и  $\Psi_{\text{рас}}$ , связанных соответственно с нерассеянным и рассеянным излучением

$$\Psi(r, \mu_0, \mu_1, \phi) = \Psi_0 + \Psi_{\text{рас}};$$

$$\begin{aligned} \Psi_0 &= \frac{S_0}{(2\pi)^3} \sum_{j=1}^J \sum_{\ell}^L \frac{2\ell+1}{4\pi} \eta_\ell^j \sum_{n=0}^N \frac{2n+1}{4\pi} \chi_n^j \times \\ &\times \sum_{p=|n-\ell|}^{n+\ell} (2p+1) Z_{pn\ell}(\mu_0, \mu_1, \phi) I_p^j(r); \quad (12.1) \end{aligned}$$

$$I_p^j(r) = 4\pi \int_0^\infty dk k^2 \sqrt{\frac{\pi}{2kr}} (-i)^p J_{p+\frac{1}{2}}(kr) \frac{1}{ik} Q_p \left( \frac{\alpha_j}{ik} \right); \quad (12.2)$$

$$\begin{aligned} \Psi_{\text{рас}} &= \frac{S_0}{(2\pi)^3} \sum_{j=1}^J \sum_{\ell=0}^L \frac{2\ell+1}{4\pi} \eta_\ell^j \sum_{n=0}^N \frac{2n+1}{4\pi} \sum_{\rho}^j \chi_n^\rho \times \\ &\times \sum_{p=|n-\ell|}^{n+\ell} (2p+1) Z_{pn\ell}(\mu_0, \mu_1, \phi) J_{pn\ell}^{\rho j}(r); \quad (12.3) \end{aligned}$$

$$J_{pn\ell}^{pj}(r) = 4\pi \int_0^\infty dk k^2 \sqrt{\frac{\pi}{2kr}} (-i)^p J_{p+\frac{1}{2}}(kr) \left(\frac{1}{ik}\right)^2 \times \\ \times Q_\ell \left(\frac{\alpha_j}{ik}\right) Q_n \left(\frac{\alpha_p}{ik}\right) C_{pj}(k); \quad (12.4)$$

$$Z_{pn\ell}(\mu_0, \mu_1, \phi) = \\ = \frac{4\pi}{2p+1} \left\{ \left( C_{n_0, \ell_0}^{p_0} \right)^2 P_n(\mu_0) P_\ell(\mu_1) + 2C_{n_0, \ell_0}^{p_0} \times \right. \\ \left. \times \sum_{m=1}^{\min(n, \ell)} C_{nm, \ell-m}^{p_0} \sqrt{\frac{(n-m)!(\ell-m)!}{(n+m)!(\ell+m)!}} P_n^m(\mu_0) P_\ell^m(\mu_1) \cos m\phi \right\}. \quad (12.5)$$

Следует отметить, что для нерассеянной компоненты нейтронного излучения  $\psi_0$  из достаточно сложного соотношения (12.1) может быть получен простой, хорошо известный вид. Действительно, учитывая свойства преобразования Бесселя [4]

$$\int_0^\infty dk \frac{k^2}{\sqrt{kr}} J_{p+\frac{1}{2}}(kr) F(k) = f(r), \\ \int_0^\infty dr \frac{r^2}{\sqrt{kr}} J_{p+\frac{1}{2}}(kr) f(r) = F(k) \quad (13)$$

и табличное значение интеграла [5],

$$\int_0^\infty dr \frac{e^{-ar}}{\sqrt{r}} J_{p+\frac{1}{2}}(kr) = \\ = \frac{(k/2)^{p+\frac{1}{2}}}{\alpha^p} \frac{\Gamma(p+1)}{\Gamma(p+\frac{3}{2})} F\left(\frac{p+1}{2}, \frac{p+2}{2}, p+\frac{3}{2}, -\frac{k^2}{\alpha^2}\right) = \\ = \sqrt{\frac{2}{\pi k}} \frac{1}{i^{p+1}} Q_p\left(\frac{\alpha}{ik}\right),$$

где  $\Gamma(x)$  – гамма-функция;  $F(a, b, c, x)$  – гипергеометрическая функция, из соотношения (12.2) можно получить, что  $I_p^i(r) = 2\pi^2 \frac{e^{-\alpha_j r}}{r^2}$ .

Подставляя это выражение в (12.1) и учитывая свойства коэффициентов Клебша–Гордана [3]  $\sum_p C_{n_0, \ell_0}^{p_0} C_{nm, \ell-m}^{p_0} = \delta_{m0}$ , для нерассеянной компоненты получим стандартное простое соотношение

$$\psi_0(r, \mu_0, \mu_1) = \sum_{j=1}^J \frac{S_0 e^{-\alpha_j r}}{r^2} \chi_j(\mu_0) \eta_j(\mu_1). \quad (14)$$

Дальнейший анализ выражений (12.3), (12.4) для рассеянной компоненты излучения затруднен тем, что функция  $C_{pj}(k)$  в общем случае многогруппового приближения не выражается в явном виде, а находится через решение определителя (см. (6) и (7)), порядок которого равен числу энергетических групп. Однако поскольку функция  $C_{pj}(k)$  связана только с энергетическими характеристиками процесса рассеяния и не зависит от вида индикатрис источника и детектора, то она может быть определена из данных о пространственном распределении флюенса нейтронов от точечного изотропного источника.

Допустим, из детальных численных расчетов, например методом Монте-Карло, известно решение задачи о пространственном распределении флюенса  $F_{pj}^{\text{pac}}(R)$  рассеянных нейтронов в  $j$ -й энергетической группе от точечного изотропного источника единичной мощности ( $S_0 = 1$ ), излучающего нейтроны в  $p$ -й группе. В рамках рассматриваемого подхода из соотношений (13.3) и (13.4) следует, что такое распределение флюенса нейтронов, когда из всех  $\chi_n^m$  и  $\eta_\ell^m$  отличны от нулевых значений лишь  $\chi_0^p = 1$  и  $\eta_0^j = 4\pi$ , описывается соотношением

$$F_{pj}^{\text{pac}}(R) = \frac{4\pi}{(2\pi)^3} \int_0^\infty dk k^2 \sqrt{\frac{\pi}{2kR}} J_{1/2}(kR) \left(\frac{1}{ik}\right)^2 \times \\ \times Q_0\left(\frac{\alpha_j}{ik}\right) Q_0\left(\frac{\alpha_p}{ik}\right) C_{pj}(k). \quad (15)$$

Из соотношения (5) с учетом свойств преобразования Бесселя (13) можно выразить  $C_{pj}(k)$  через известную функцию  $F_{pj}^{\text{pac}}(R)$  и после подстановки в выражение (12.3), (12.4) получить следующую связь между искомым функционалом для анизотропных индикатрис источника и детектора с известным решением для флюенса рассеянных нейтронов для изотропных индикатрис:

$$\Psi_{\text{pac}} = S_0 \sum_{j=1}^J \sum_{\ell} \frac{2\ell+1}{4\pi} \eta_\ell^j \sum_{n=0}^N \frac{2n+1}{4\pi} \sum_{p=1}^J \chi_n^p \times \\ \times \sum_{p=|n-\ell|}^{n+\ell} (2p+1) Z_{pn\ell}(\mu_0, \mu_1, \phi) J_{pn\ell}^{pj}(r); \quad (16.1)$$

$$J_{pn\ell}^{pj}(r) = \frac{1}{4\pi} \int_0^\infty dk \frac{k^2}{\sqrt{kr}} (-i)^p J_{p+\frac{1}{2}}(kr) \frac{Q_\ell\left(\frac{\alpha_j}{ik}\right) Q_n\left(\frac{\alpha_p}{ik}\right)}{Q_0\left(\frac{\alpha_j}{ik}\right) Q_0\left(\frac{\alpha_p}{ik}\right)} \times \\ \times \int_0^\infty dR \frac{1}{\sqrt{kR}} J_{1/2}(kR) 4\pi R^2 F_{pj}^{\text{pac}}(R). \quad (16.2)$$

Дальнейшее упрощение выражения для рассеянной компоненты излучения  $\Psi_{\text{pac}}$  может быть достигнуто за счет представления  $F_{pj}^{\text{pac}}(R)$  в удобном для интегрирования виде. Учитывая, что асимптотически пространственное распределение нейтронов от изотропного источника имеет вид [2]

$$F^{\text{pac}}(R) \approx \frac{1}{R} \sum_i e^{-\lambda_i R},$$

целесообразно использовать следующую аппроксимацию:

$$4\pi R^2 F_{pj}^{\text{pac}}(R) = R \sum_m A_{pj}^m e^{-\lambda_{pj}^m R}. \quad (17)$$

Тогда соотношение (16.2) упрощается и примет вид

$$J_{pn\ell}^{pj}(r) = \frac{1}{4\pi} \sum_m A_{pj}^m \int_0^\infty dk \sqrt{\frac{2}{\pi kr}} J_{p+\frac{1}{2}}(kr) (-i)^p \times \\ \times \frac{k^2 Q_\ell\left(\frac{\alpha_j}{ik}\right) Q_n\left(\frac{\alpha_\rho}{ik}\right)}{\left[k^2 + \left(\lambda_{pj}^m\right)^2\right] Q_0\left(\frac{\alpha_j}{ik}\right) Q_0\left(\frac{\alpha_\rho}{ik}\right)}. \quad (18)$$

Учитывая, что функция  $i^{n+1} Q_n(ix)$  является функцией действительной переменной [6], а  $p+n+\ell$  – четным числом, можно привести выражение для искомого функционала к окончательному виду без комплексных переменных

$$\Psi(r, \mu_0, \mu_1, \phi) = \Psi_0(r, \mu_0, \mu_1) + \Psi_{\text{pac}}(r, \mu_0, \mu_1, \phi), \quad (19)$$

$$\text{где } \Psi_0(r, \mu_0, \mu_1) = \frac{S_0}{r^2} \sum_{j=1}^J \chi_j(\mu_0) \eta_j(\mu_1) e^{-\alpha_j r};$$

$$\Psi_{\text{pac}}(r, \mu_0, \mu_1, \phi) = S_0 \sum_{j=1}^J \sum_{\rho=1}^j \sum_{\ell=0}^L \frac{2\ell+1}{4\pi} \eta_\ell^j \sum_{n=0}^N \frac{2n+1}{4\pi} \times$$

$$\times \chi_n^\rho \sum_{p=|n-\ell|}^{n+\ell} L_{pn\ell}(\mu_0, \mu_1, \phi) Y_{pn\ell}^{pj}(r);$$

$$L_{pn\ell}(\mu_0, \mu_1, \phi) = C_{n_0, \ell_0}^{p_0} \left\{ C_{n_0, \ell_0}^{p_0} P_n(\mu_0) P_\ell(\mu_1) + \right. \\ \left. + 2 \sum_{m=1}^{\min(n, \ell)} C_{nm, \ell-m}^{p_0} \sqrt{\frac{(n-m)!(\ell-m)!}{(n+m)!(\ell+m)!}} P_n^m(\mu_0) P_\ell^m(\mu_1) \cos m\phi \right\};$$

$$Y_{pn\ell}^{pj}(r) = (-1)^{\frac{p-\ell-n}{2}} \alpha_\rho \sum_m A_{pj}^m \times$$

$$\times \int_0^\infty dx \frac{x^2}{x^2 + \left(\frac{\lambda_{pj}^m}{\alpha_\rho}\right)^2} J_{p+\frac{1}{2}}(x\alpha_\rho r) F_\ell\left(\frac{\alpha_j}{\alpha_\rho} x\right) F_n(x),$$

где  $J_{p+\frac{1}{2}} = \sqrt{\frac{2}{\pi x}} I_{p+\frac{1}{2}}(x)$  – сферическая функция Бесселя;

$$\text{ля; } F_n(x) = \frac{i^{n+1} Q_n\left(\frac{i}{x}\right)}{i Q_0\left(\frac{i}{x}\right)}.$$

Значение  $F_0(x) = 1$ ,  $F_1(x) = \frac{1}{\text{arctg}x} - \frac{1}{x}$ , а при  $n > 1$

значение  $F_n(x)$  определяется из рекуррентного соотношения

$$F_{n+1}(x) = \frac{n}{n+1} F_{n-1}(x) - \frac{2n+1}{n+1} \frac{F_n(x)}{x}.$$

Таким образом, в результате решения многоскоростного уравнения переноса нейтронов получено соотношение (19), устанавливающее связь между искомым функционалом от функции распределения нейтронов от точечного источника при анизотропных индикатрисах источника и детектора с флюенсом рассеянных нейтронов при изотропных индикатрисах, представленным в виде разложения (17). Эта связь установлена в приближении изотропного рассеяния нейтронов на ядрах среды, однако использование в ней данных о распределении флюенса рассеянных нейтронов с изотропными индикатрисами, полученных в детальных численных расчетах с учетом анизотропии рассеяния, позволяет учесть в решении и анизотропию рассеяния нейтронов.

В частном случае односкоростного приближения, когда  $A_{pj}^m = A_m \delta_{pj}$  ( $\delta_{pj}$  – символ Кронекера),  $\alpha_\rho = \alpha_j = \alpha$ ,  $\lambda_{pj}^m = \lambda_m$ ,  $\eta_\ell^j = \eta_\ell$ ,  $\chi_n^j = \chi_n$ , выражения для прямопролетной и рассеянной составляющих принимают вид

$$\Psi_0(r, \mu_0, \mu_1) = \frac{S_0}{r^2} \chi(\mu_0) \eta(\mu_1) e^{-\alpha r}; \\ \Psi_{\text{pac}}(r, \mu_0, \mu_1, \phi) = S_0 \sum_{\ell=0}^L \frac{2\ell+1}{4\pi} \eta_\ell \sum_{n=0}^N \frac{2n+1}{4\pi} \chi_n \times \\ \times \sum_{p=|n-\ell|}^{n+\ell} L_{pn\ell}(\mu_0, \mu_1, \phi) Y_{pn\ell}(r); \quad (20.1)$$

где

$$Y_{pn\ell}(r) = (-1)^{\frac{p-\ell-n}{2}} \alpha \times \\ \times \sum_m A_m \int_0^\infty dx \frac{x^2}{x^2 + \left(\frac{\lambda_m}{\alpha}\right)^2} J_{p+\frac{1}{2}}(x\alpha r) F_\ell(x) F_n(x). \quad (20.2)$$

Выражение для  $L_{pn\ell}$  в (20.1) остается прежним, как в (19), поскольку оно не зависит от энергетических характеристик, а определяется лишь угловыми переменными. Следует отметить, что решение (19) в общем случае анизотропных индикатрис представляет суперпозицию функций  $L_{pn\ell}(\mu_0, \mu_1, \phi)$  от угловых переменных и функций  $Y_{pn\ell}^{pj}(r)$ , связанных лишь с пространственно-энергетическими переменными.

### 3. Результаты численных расчетов

Для оценки точности полученного соотношения, определяемого погрешностью расчета рассеяний компоненты  $\Psi_{\text{pac}}$ , так как нерассеянная составляющая вычисляется по точной формуле, было проведено сопоставление результатов одnogрупповых расчетов значения  $\Psi_{\text{pac}}$  по соотношению (20) с результатами численных расчетов, полученных методом Монте-Карло. Определялся функционал  $\Psi_{\text{pac}}$  для точечного источника

единичной мощности в воздушной среде ( $N_{0,8}O_{0,2}$ ) плотностью  $1,29 \cdot 10^{-3}$  г/см<sup>3</sup> на разных расстояниях от источника. Индикатрисы источника и детектора принимались в виде линейных функций:

$$\chi(\mu_0) = \frac{1}{4\pi}(1 + \mu_0); \quad \eta(\mu_1) = 1 + \mu_1.$$

В этом случае

$$\chi_0 = 1; \quad \chi_1 = 1/3; \quad \eta_0 = 4\pi; \quad \eta_1 = \frac{4\pi}{3};$$

$$L_{000} = 1; \quad L_{101} = \mu_1; \quad L_{110} = \mu_0;$$

$$L_{011} = \frac{1}{3} \left[ \mu_0 \mu_1 - \sqrt{(1 - \mu_0^2)(1 - \mu_1^2)} \right];$$

$$L_{211} = \frac{2}{3} \left[ \mu_0 \mu_1 + \frac{1}{2} \sqrt{(1 - \mu_0^2)(1 - \mu_1^2)} \cos \phi \right]$$

и функционал  $\psi_{\text{рас}}$  по формуле (20) записывается в виде

$$\begin{aligned} \psi_{\text{рас}}(r, \mu_0, \mu_1, \phi) = & 1/4\pi \{ Y_{000}(r) + (\mu_0 + \mu_1) Y_{101}(r) + \\ & + \frac{1}{3} \mu_0 \mu_1 [Y_{011}(r) + 2Y_{211}(r)] + \frac{1}{3} \sqrt{(1 - \mu_0^2)(1 - \mu_1^2)} \times \\ & \times \cos \phi [Y_{211}(r) - Y_{011}(r)] \}. \end{aligned} \quad (21)$$

Рассматривалось распределение нейтронов в энергетической группе 0,5–2 МэВ от источника, излучающего нейтроны равномерно по энергии в группе 1,5–2 МэВ. Используемые в соотношении (20.2) параметры  $A_m, \lambda_m$  для изотропных индикатрис получены из обработки результатов соответствующего расчета по Монте-Карло, результаты которого для флюенса нейтронов были аппроксимированы формулами

$$4\pi r^2 \varphi_0(r) = e^{-0,0103r},$$

$$4\pi r^2 \varphi_{\text{рас}}(r) = 0,071e^{-0,0081r} - 0,045e^{-0,011r},$$

где  $r, m; \phi, \text{нейтр./м}^2$ .

Отсюда следует, что одnogрупповые параметры равны

$$\alpha = 0,0103 \text{ м}^{-1}; \quad A_1 = 0,071 \text{ нейтр./м};$$

$$A_2 = -0,045 \text{ нейтр./м}; \quad \lambda_1 = 0,0081 \text{ м}^{-1}; \quad \lambda_2 = 0,011 \text{ м}^{-1}.$$

Сопоставление результатов расчетов рассеянной компоненты  $\psi_{\text{рас}}$  для линейно-анизотропных индикатрис по формуле (21) с результатами численных расчетов по Монте-Карло для разных расстояний от источника  $r$  и ориентации источника и детектора представлено в табл. 1.

Как видно из табл. 1 наблюдается хорошее согласие результатов расчетов по полученным аналитическим соотношениям с результатами численных расчетов в пределах статистической точности расчетов по Монте-Карло ( $1\delta \sim 3 \div 5 \%$ ).

Представляет интерес вопрос о степени "изотропизации" рассеянного излучения по мере увеличения расстояния до источника. Существует мнение, что на большом расстоянии от источника флюенс рассеянных нейтронов становится почти изотропным, поэтому ориентация детектора даже с анизотропной индикатрисой

чувствительности не должна сказываться на его показаниях. То есть значение функционала  $\psi_{\text{рас}}(r)$  при больших  $r$  не зависит от ориентации детектора и совпадает с аналогичной величиной для изотропной индикатрисы чувствительности.

В табл. 2 представлена информация об изменении с расстоянием отношения  $\frac{\psi_{\text{рас}}^{\text{ан}} - \psi_{\text{рас}}^{\text{из}}}{\psi_{\text{рас}}^{\text{из}}}$ , где  $\psi_{\text{рас}}^{\text{ан}}$  – значение функционала для рассеянных нейтронов при линейно-анизотропной индикатрисе детектора, а  $\psi_{\text{рас}}^{\text{из}}$  – значение этого функционала для изотропной индикатрисы чувствительности (нормировка индикатрис в обоих случаях одинакова). Индикатриса источника в обоих случаях является линейно-анизотропной. Расчеты проводились с теми же параметрами  $A_m, \lambda_m$ , что и в предыдущем примере; по формулам для соответствующих ориентаций детектора и источника из соотношения (21) и представленным в табл. 2.

Асимптотические значения интегралов  $Y_{pnl}(r)$  при  $r \rightarrow \infty$  получены следующим образом. При больших  $r$  сумму по  $m$  в выражении (20.2) можно ограничить одним членом с минимальным значением  $\lambda = \lambda_1$ , так как он определяет флюенс нейтронов на больших расстояниях от источника. Значение  $\lambda_1$  обычно меньше  $\alpha$ , что и определяет более слабое снижение флюенса рассеянных нейтронов по сравнению с прямопролетными.

Подынтегральная функция в (20.2) является четной, поэтому представляя  $J_{p+\frac{1}{2}}$  в виде  $J_{p+\frac{1}{2}}(x) = \frac{1}{2} \left[ H_{p+\frac{1}{2}}^{(1)}(x) + H_{p+\frac{1}{2}}^{(2)}(x) \right]$ , где  $H_{p+\frac{1}{2}}^{(1),(2)}(x)$  – цилиндрические функции Ганкеля первого и второго ряда, интеграл


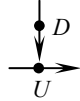
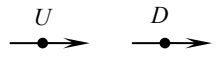
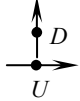


входящий в выражения (18) и (20.2), можно записать в виде  $L_{pnl}(r) = \frac{1}{4} \left[ N_{pnl}^{(1)}(r) + N_{pnl}^{(2)}(r) \right]$ , где

$$L_{pnl}(r) = \int_0^\infty dk \sqrt{\frac{2}{\pi kr}} J_{p+\frac{1}{2}}(kr) (-i)^p \frac{k^2}{k^2 + \lambda_1^2} \frac{Q_l\left(\frac{\alpha}{ik}\right) Q_n\left(\frac{\alpha}{ik}\right)}{Q_0^2\left(\frac{\alpha}{ik}\right)},$$

где

$$\begin{aligned} N_{pnl}^{(i)}(r) = & \int_{-\infty}^\infty dk (-i) \sqrt{\frac{2}{\pi kr}} H_{p+\frac{1}{2}}^{(i)}(kr) \frac{k^2}{k^2 + \lambda_1^2} \times \\ & \times \frac{Q_l\left(\frac{\alpha}{ik}\right) Q_n\left(\frac{\alpha}{ik}\right)}{Q_0^2\left(\frac{\alpha}{ik}\right)}. \end{aligned}$$


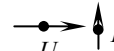

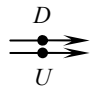
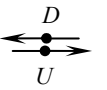
Сопоставление результатов расчетов функционала  $4\pi r^2 \psi_{\text{рас}}(r, \mu_0, \mu_1, \varphi)$  для линейно-анизотропных индикатрис по формуле (21) (верхнее значение) с расчетами по Монте-Карло (нижнее значение)

Ориентация источника и детектора*	Расстояние $r$ , м				
	50	150	300	500	750
$\mu_0 = 1$ $\mu_1 = 1$ 	$\frac{1,90}{1,82}$	$\frac{3,28}{3,21}$	$\frac{2,45}{2,33}$	$\frac{0,95}{1,00}$	$\frac{0,21}{0,22}$
$\mu_0 = 0$ $\mu_1 = 1$ 	$\frac{1,45}{1,43}$	$\frac{2,49}{2,48}$	$\frac{1,85}{1,84}$	$\frac{0,71}{0,75}$	$\frac{0,155}{0,16}$
$\mu_0 = 1$ $\mu_1 = -1$ 	$\frac{1,00}{0,94}$	$\frac{1,7}{1,67}$	$\frac{1,25}{1,3}$	$\frac{0,47}{0,49}$	$\frac{0,10}{0,11}$
$\mu_0 = 0$ $\mu_1 = -1$ 	$\frac{0,69}{0,67}$	$\frac{1,23}{1,26}$	$\frac{0,9}{0,89}$	$\frac{0,35}{0,35}$	$\frac{0,074}{0,074}$
$\mu_0 = -1$ $\mu_1 = 1$ 	$\frac{1,0}{0,97}$	$\frac{1,70}{1,70}$	$\frac{1,25}{1,20}$	$\frac{0,47}{0,47}$	$\frac{0,10}{0,01}$
$\mu_0 = -1$ $\mu_1 = -1$ 	$\frac{0,38}{0,40}$	$\frac{0,76}{0,77}$	$\frac{0,57}{0,56}$	$\frac{0,22}{0,21}$	$\frac{0,047}{0,042}$

\* Стрелкой указано направление, в котором индикатрисы источника  $U$  и детектора  $D$  принимают максимальное значение.

Таблица 2

Значение  $\frac{\psi_{\text{рас}}^{\text{ан}} - \psi_{\text{рас}}^{\text{из}}}{\psi_{\text{рас}}^{\text{из}}}$ , характеризующее относительное отличие функционалов с линейно-анизотропной и изотропной индикатрисами чувствительности детектора

Ориентация детектора	Расчетная формула	Расстояние $r$ , м					
		50	150	300	500	750	$r \rightarrow \infty$
	$\frac{2Y_{101} + \frac{1}{3}(Y_{011} + 2Y_{211})}{Y_{000}}$	0,77	0,77	0,79	0,8	0,81	0,77
	$\frac{Y_{101}}{Y_{000}}$	0,36	0,34	0,34	0,345	0,35	0,33
	$\frac{\frac{1}{3}(Y_{011} + 2Y_{211})}{Y_{000}}$	0,06	0,09	0,1	0,11	0,11	0,11
	$\frac{\frac{1}{3}(Y_{211} - Y_{011})}{Y_{000}}$	0,1	0,055	0,035	0,03	0,02	$13,6/r$
	$-\frac{\frac{1}{3}(Y_{211} - Y_{011})}{Y_{000}}$	-0,1	-0,055	-0,035	-0,03	-0,02	$-13,6/r$

Подынтегральная функция  $f(k)$  в последнем интеграле удовлетворяет требованиям леммы Жордана в верхней полуплоскости аргумента  $k$  для  $H_{p+\frac{1}{2}}^{(1)}(k)$  и нижней – для  $H_{p+\frac{1}{2}}^{(2)}(k)$  и имеет полюса в точках  $k = \pm i\lambda_1$  и точки ветвления  $k = \pm i\alpha$ . Значение интеграла

ла может быть вычислено методами функций комплексного переменного с помощью вычетов. Интегрируя в верхней полуплоскости по контуру, изображенному на рис. 2, можно представить интеграл в виде

$$N_{pn}^{(1)}(r) = 2\pi r \times \text{вычет } f(k) \Big|_{k=i\lambda_1} + \oint_c f(k) dk$$

Асимптотическое значение интеграла при больших  $r$  определяется первым слагаемым, которое равно

$$N_{pn\ell}^{(1)} \cong 2\sqrt{\frac{2\lambda_1}{\pi r}} K_{p+\frac{1}{2}}(\lambda_1 r) \frac{Q_\ell\left(\frac{\alpha}{\lambda_1}\right) Q_n\left(\frac{\alpha}{\lambda_1}\right)}{Q_0^2\left(\frac{\alpha}{\lambda_1}\right)},$$

где  $K_{p+\frac{1}{2}}(x)$  – модифицированная функция Ганкеля.

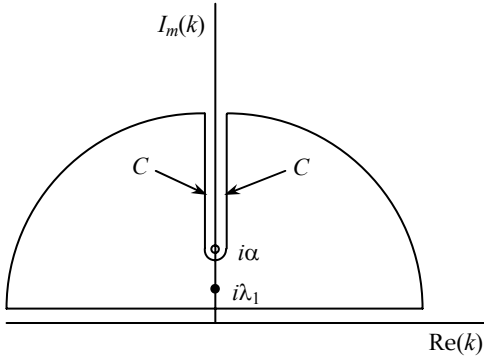


Рис. 2. Контур интегрирования в плоскости комплексной переменной  $k$  для вычисления интеграла  $N_{pn\ell}^{(1)}(r)$

Интегрирование с функцией  $H_{p+\frac{1}{2}}^{(2)}(kr)$  в нижней полуплоскости приводит к такому же результату. Следовательно, при больших  $r$  значение интеграла  $Y_{pn\ell}(r)$  в (20.2) стремится к выражению

$$Y_{pn\ell}(r) \cong A_1 \sqrt{\frac{2\lambda_1}{\pi r}} K_{p+\frac{1}{2}}(\lambda_1 r) \frac{Q_\ell\left(\frac{\alpha}{\lambda_1}\right) Q_n\left(\frac{\alpha}{\lambda_1}\right)}{Q_0^2\left(\frac{\alpha}{\lambda_1}\right)}.$$

Следовательно, асимптотические значения отношений при  $r \rightarrow \infty$  с учетом асимптотик функций  $K_{p+\frac{1}{2}}(x)$  будут стремиться к величинам

$$\frac{2Y_{101} + \frac{1}{3}(Y_{011} + 2Y_{211})}{Y_{000}} \rightarrow \frac{Q_1\left(\frac{\alpha}{\lambda_1}\right)}{Q_0\left(\frac{\alpha}{\lambda_1}\right)} \left[ 2 + \frac{Q_1\left(\frac{\alpha}{\lambda_1}\right)}{Q_0\left(\frac{\alpha}{\lambda_1}\right)} \right];$$

$$\frac{Y_{101}}{Y_{000}} \rightarrow \frac{Q_1\left(\frac{\alpha}{\lambda_1}\right)}{Q_0\left(\frac{\alpha}{\lambda_1}\right)}, \quad \frac{\frac{1}{3}(Y_{011} + 2Y_{211})}{Y_{000}} \rightarrow \frac{Q_1^2\left(\frac{\alpha}{\lambda_1}\right)}{Q_0^2\left(\frac{\alpha}{\lambda_1}\right)};$$

$$\frac{\frac{1}{3}(Y_{211} - Y_{011})}{Y_{000}} \rightarrow \frac{Q_1^2\left(\frac{\alpha}{\lambda_1}\right)}{Q_0^2\left(\frac{\alpha}{\lambda_1}\right)} \frac{1}{\lambda_1 r}.$$

Из последних двух пунктов табл. 2 видно, что в рассмотренном частном примере зависимость  $\Psi_{\text{рас}}(r, \mu_0, \mu_1, \varphi)$  от азимутального угла  $\varphi$  для анизотропной индикатрисы детектора с расстоянием стирается и приближается к изотропному варианту индикатрисы. Однако из первого примера (первые 3 пункта таблицы) видно, что в данном случае зависимость  $\Psi_{\text{рас}}$  от ориентации анизотропного детектора сохраняется и на больших расстояниях от источника с заметным отличием от случая изотропного детектора по величине.

Не достигается изотропности в угловом распределении нейтронов на больших расстояниях и в случае изотропного источника. Это видно из расчетных данных табл. 3, которые указывают на заметную зависимость асимптотического при  $r \rightarrow \infty$  отношения  $\frac{\Psi_{\text{рас}}^{\text{ан}} - \Psi_{\text{рас}}^{\text{из}}}{\Psi_{\text{рас}}^{\text{из}}}$  от ориентации линейно-анизотропного детектора при изотропном источнике. Аналогичная картина наблюдается при линейно-анизотропном источнике и изотропном детекторе.

Таблица 3

Асимптотические значения величины  $\frac{\Psi_{\text{рас}}^{\text{ан}} - \Psi_{\text{рас}}^{\text{из}}}{\Psi_{\text{рас}}^{\text{из}}}$

для изотропного источника и линейно-анизотропного детектора

Ориентация детектора	$U$ $\rightarrow$ $D$	$U$ $\leftarrow$ $D$	$U$ $\uparrow$ $D$
$\frac{\Psi_{\text{рас}}^{\text{ан}} - \Psi_{\text{рас}}^{\text{из}}}{\Psi_{\text{рас}}^{\text{из}}}$	-0,33	0,33	0



Из рассмотренных примеров следует, что полной изотропности в угловом распределении рассеянных нейтронов на больших расстояниях от источника не достигается. В случае анизотропных индикатрис это приводит к зависимости показаний детектора от ориентации и взаимного расположения детектора и источника даже на большом расстоянии от источника.

### Список литературы

1. Дэвидсон. Теория переноса нейтронов. М.: Атомиздат, 1960.
2. Кейз К., Цвайфель П. Линейная теория переноса. М.: Мир, 1972.

3. Варшалович Д. А., Москалев А. Н., Херсонский В. К. Квантовая теория углового момента. Л.: Наука, 1975.

4. Корн Г., Корн Т. Справочник по математике для научных работников и инженеров. М.: Наука, 1977.

5. Градштейн И. С., Рыжик И. М. Таблицы интегралов, сумм, рядов и произведений. М.: Наука, 1971.

6. Таблицы присоединенных функций Лежандра. М.: ВЦ АН СССР, 1965.

Статья поступила в редакцию 14.09.2009